

# 2차 대역 능동 여파기에 관한 연구

83308

正會員 金圭煥

國立群山水產專門大學 通信工學科

A Study on Realization of A 2nd-order Band-Pass Active Filter

Gyu Hwan Gim, Regular Members

Dept. of telecommunication Engineering, National Fisheries Junior  
college, Gunsan, 511 Korea.

## 요약

간단하고 경제적인 2차 능동여파기를 설계하기 위하여 2개의 연산증폭기만을 사용한 능동회로를 구성하여 전달함수를 실현하였고 실험을 통하여 주파수에 대한 이득을 고찰하였다.

## ABSTRACT

In order to design the simple and economic Band-Pass Active filter, 2nd-order BPF using OP-amplifier were studied by their experiments.

The results were obtained as follows.

1. 2nd-order BPF Transfer function could be realized and the unity between calculated value and measured value of the gain were conformed by experiments.
2. The transfer function of LPF and HPF could be realized by changing some elements of the BPF circuits.
3. The circuit was comparatively simple and the damping characteristic of the frequency was good.

## 1. 서론

능동여파기는 1965년 Widlar가 처음으로 상용 IC 연산증폭기를 설계한 것을 계기로 많은 능동여파기에 대한 문헌이 발표되었다<sup>(1), (2)</sup>.

근년에 전자회로의 소형화 고집적화 경향에서 LC filter는 장점도 있지만 저주파에서 형상이 크고 무거우며 조정이 어렵고 전자간섭이 크고 IC화 할 수 없는 등 단점이 있어<sup>(3)</sup> IC filter 대신에 능동여파기가 사용되고 있는 실정이다.

RC active filter의 설계는 Low-Pass filter 전달함수에 변수변환을 실시해서 얻은 고차함수를 2차함수의 적으로 분해해서 그의 흡속접속에 의해서 Band-Pass 특성을 실현하며 대부분 연산증폭기 3개 이상으로 설계함이 일반적이다. 따라서 고차함수의 실현이 어렵고 연산증폭기 수가 많아져 가격과 소비전력이 커지는 등 결점이 있다.

본논문에서는 정상입력을 접지한 2개의 연산증폭기를 사용해서 회로를 구성 하면서 고차함수를 분해하지 않고 2차 RC Band - Pass filter의 전달함수를

직접 실현하고 통과로의 회로소자를 약간 변경하므로 LPF 및 HPF를 같이 가능한 점과 RC Band-Pass filter의 균형회로를 구성하여 실험을 통하여 주파수 특성 및 이득의 계산치와 실험치를 비교검토하였다.

## 2. 회로의 구성 및 설계

### (1). 전달함수의 실현

그림 1은 제안된 2차대역 능동여파기 회로이다. 여기서 연산증폭기의 특성이 이상적인 경우 즉 입력 Impedance가 무한대이고 출력 Impedance를 영으로 가정하여 (4) 전달함수를 구하면 다음과 같다.

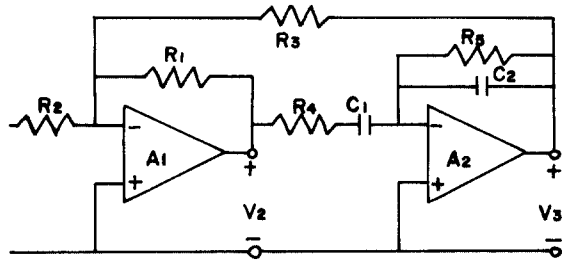


그림 1 제작 능동 여파기

The band-pass active filter.

$$V_2 = -R_1 \left( \frac{V_3}{R_3} + \frac{V_1}{R_2} \right) = -\frac{R_1}{R_3} V_3 - \frac{R_1}{R_2} V_1 \quad (1)$$

$$V_3 = \frac{1}{SR_4 C_1 + 1} \cdot \frac{R_5}{SR_5 C_2 + 1} \cdot V_2 \quad (2)$$

$$\frac{V_3}{V_2} = - \frac{SR_5 C_1}{(SR_5 C_2 + 1)(SR_4 C_1 + 1)} \quad (3)$$

여기서  $G_1 = R_4 C_1$ ,  $G_2 = R_5 C_2$ ,  $G_3 = R_5 C_1$  이라면

$$V_3 = - \frac{G_3 S}{(G_1 S + 1)(G_3 S + 1)} V_2 \quad (4)$$

(4)식을 (1)식에 대입하면

$$V_2 = \frac{R_1}{R_3} \cdot \frac{G_3 S}{(G_1 S + 1)(G_3 S + 1)} \cdot V_2 - \frac{R_1}{R_2} \cdot V_1 \quad (5)$$

여기서  $K_1 = \frac{R_1}{R_2}$ ,  $K_2 = \frac{R_1}{R_3}$ 로 놓으면

$$V_2 - K_2 \frac{G_3 S}{(G_1 S + 1)(G_3 S + 1)} \cdot V_2 = -K_1 V_1 \quad (6)$$

(6)식에서  $\frac{V_2}{V_1}$ 을 구하면

$$\frac{V_2}{V_1} = -K_1 \frac{(G_1 S + 1)(G_3 S + 1)}{G_1 G_2 S^2 + (G_1 + G_2 - K_2 G_3) S + 1} \quad (7)$$

(4)식에서  $V_2$ 를 구하여 (7)식에 대입하면

$$T_1(S) = \frac{V_3}{V_1} = \frac{G_3 K_1 S}{[G_1 G_2 S^2 + (G_1 + G_2 - K_2 G_3) S + 1]} \quad (8)$$

단  $S$ 는 복소주파수

(8)식과 같이 2차 전달함수가 구해졌으며 이를 2차 함수의 일반형식으로 변형하면

$$T_1(S) = \frac{G_3 K_1 S}{S^2 + \left( \frac{G_1 + G_2 - K_2 G_3}{G_1 G_2} \right) S + \frac{1}{G_1 G_2}} \quad (9)$$

(9)식은 2차 Band-Pass filter의 특성이다.

$$\text{여기서 } Q = \frac{\sqrt{G_1 G_2}}{G_1 + G_2 - K_2 G_3} \quad (10)$$

$$W_n = \frac{1}{\sqrt{G_1 G_2}} \quad \text{가 된다} \quad (11)$$

### (2). 설계 및 조정

2차의 filter 특성은  $Q$ ,  $W_n$ 을 결정하는 것으로 정해진다. 본 회로의  $Q$ ,  $W_n$ 은 (10) (11)식으로 주어진다. (10) (11)식에 의해서 알 수 있는 바와 같이  $K_2$ 와  $Q$ 에만 포함되어 있어  $W_n$ 은 거기에 의존하지 않는다. 따라서  $K_2$ 에만 포함되어 있는 저항  $R_3$ 의 값을 변경함으로서  $W_n$ 에 변화를 주지 않고  $Q$ 를 조정할 수 있다. 한편  $W_n$ 을 조정하는데는  $G_1$ ,  $G_2$ 의 값을 변화시키면 좋으나  $G_1$ ,  $G_2$ ,  $G_3$ 은 독립변수가 아니므로  $G_1$  또는  $G_2$ 의 치를 바꾸면  $Q$ 도 변화한다. 따라서  $Q$ 와  $W_n$ 의 조정은  $W_n$ 을 먼저 조정하고 그 후에  $Q$ 를 조정하면 좋다.

### (3) LPF 및 HPF의 회로구성

그림 1에서 회로소자의 일부를 변경하여 LPF, HPF 특성을 구할 수 있다.

즉 그림 1의 회로를 그림 2와 같이 변경하여 전달함수를 구하면 (12)식과 같이 LPF의 특성이 얻어지고 그림 3과 같이 변경하여 전달함수를 구하면 (13)식과 같이 HPF의 특성을 얻을 수 있다.

$$T_2(S) = K_1 G_2 / [G_2 G_4 G_5 S^2 + \{G_4 G_5 + (1+n)\} G_5] \\ G_2 G_5 - K_1 G_2 G_4 \} S + (1+n) G_5] \quad (12)$$

단,  $G_4 = R_3 C_1$ ,  $G_5 = R_4 C_2$ ,  $n = \frac{R_3}{R_2}$  이다.

$$T_3(S) = K_1 G_3 G_6 S^2 / [G_1 G_6 S^2 + \{G_6 + (1+n) G_1 - K_1 G_3\} S + (1+n)] \quad (13)$$

단,  $G_6 = R_3 C_2$

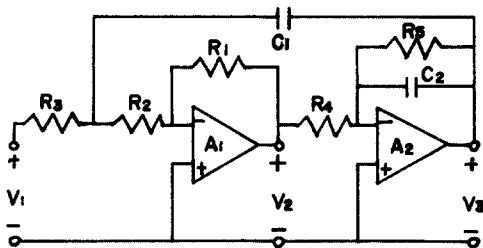


그림 2 저역 능동 여파기

The low-pass active filter.

## 4. 결론

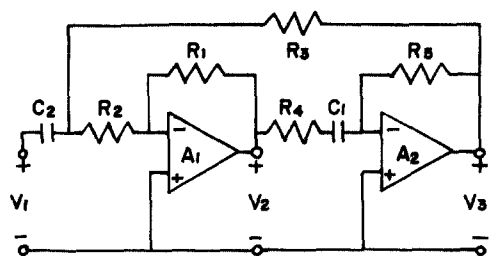


그림3 고액 능동  $\omega$ 파기  
The high-pass active filter.

### 3. 실험 및 고찰

#### (1) 실험회로 구성 및 방법

그림 4는 Band-Pass active filter를 실험하기 위한 회로이다. 그림 1의 소자에서 연관증명기는 MC1741CP와 저항은 공히  $47\text{ k}\Omega$  Condenser는 공히  $3020\text{ pF}$ 를 사용하였으며 전원은 전전지  $6\text{V DC}$  2개를 직렬연결하여 2초를 만들어  $\pm 12\text{V DC}$ 를 공급하였다.

그림 4에서 AF generator로 부터 정현파를  $10\text{Hz}$  부터  $100\text{ kHz}$  까지 발생시켜 가면서 실험회로를 통과시켜 Oscilloscope로 임출력 파형의 전압과 파형을 관찰하였다.

#### (2) 결과 및 고찰

그림 4의 실험방법으로 BPF의 각주파수에 대한 이득의 변화량을 측정한 결과는 표 1과 그림 5와 같다. 또한 임출력 파형은 그림 5와 같이 잡음이 없는 양호한 특성이 나타났다.

그림 6에서 전폭특성을 검토하면  $1100 \sim 1200\text{ Hz}$  구간은  $0\text{dB}$ 에 가깝게 일정하고 차단주파수는  $800\text{ Hz}$ ,  $1600\text{ Hz}$ 이며 대역폭은  $800\text{ Hz}$ 이다. 따라서 차단주파수 부근의 경사가 완만하고 그외의 구간에서는 감쇠특성이 양호한 곡선을 얻을 수 있고 또한 계산치와 실측치가 잘 일치하고 있음을 알 수 있었다.

전자회로의 소형화 고집적화에 필요한 Active filter의 설계를 위하여, OP-amplifier를 이용한 2nd-order Band-Pass active filter를 설계하고 실험을 통해서 검토한 결과는 다음과 같다.

(1) 정상 입력을 접지한 2개의 OP-amp를 사용하여 2차 BPF의 전달함수를 실현하고 실험을 통하여 이득의 계산치와 실측치가 일치함을 확인하였다 (그림 6.)

(2) 임출력 파형, 주파수 감쇠특성이 양호하고 회로의 간단화가 이루어되었으며 경제성이 있음이 판단되었다.

(3) BPF 회로 (그림 1)의 약간의 소자 변경으로 LPF 및 HPF의 실현이 가능하였다 (그림 2, 그림 3.)

## 参考文献

- (1) Mitsuo Okine, "Active RC Filter using VCCS", Inst. Electro Commun. Eng. Jap., Vol. 61, No. 7, pp. 536 - 537, 1978.
- (2) 石橋幸男, "Biquad回路基にした  
4次バンドパスRCアクティブ  
フィルタ", 電子通信学会誌, Vol.  
61-A, No. 7, pp. 683 - 684, 1978.
- (3) 西澤隆友, "OPアシフのフィルタ  
回路", トランジスタ技術, Vol. 17  
No. 3, p. 257, 1980.
- (4) Millman and Halkias, "Integrated  
electronics analog and digital  
circuits and system",  
Mc Graw-Hill, Inc., pp. 501 - 502,  
1972
- (5) Aram Budak, "passive and active  
network analysis and synthesis",  
Tower press, pp. 319 - 410, 1979.
- (6) Huelsman, Allen, "Theory and design  
of Active filters", Tower press, pp.  
148 - 200, 1982

표1 대역 농동 이파기의 주파수별 이득  
The relation between the frequency and gain of BPF.

freq. (KHZ)	0.01	0.04	0.1	0.2	0.4	0.6	0.8	1	1.1	1.12
gain (-dB)	40	27.9	20	14.4	8.9	5	2.4	1.1	0.9	0.8

freq. (KHZ)	1.17	1.2	1.4	1.6	2.1	3	6	12	30	100
gain (-dB)	0.8	1	1.6	2.0	5	8.9	14.4	20	27.9	40

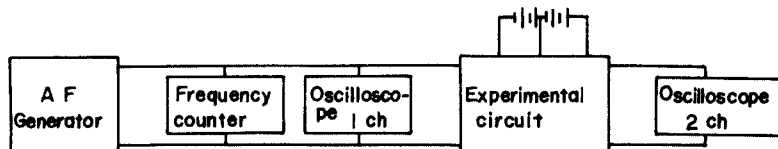
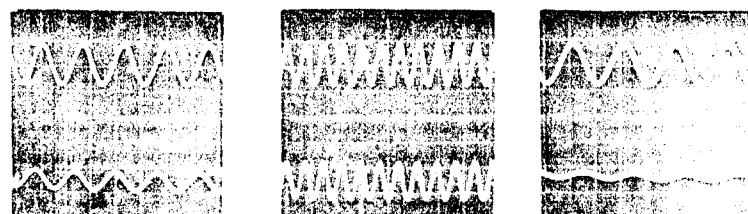


그림2 실험장치의 구성도

The block diagram of experimental circuit.



(a) 주파수 500(Hz)  
Frequency500(Hz)      (b) 주파수 800 (Hz)  
Frequency800(Hz)      (c) 주파수 4000 (Hz)  
Frequency4000(Hz)

그림5 대역이파기 입출력(상:입력파형, 하:출력파형)

The waveforms of BPF.(upside:input waveform,  
underside:output waveform), div 50mV.

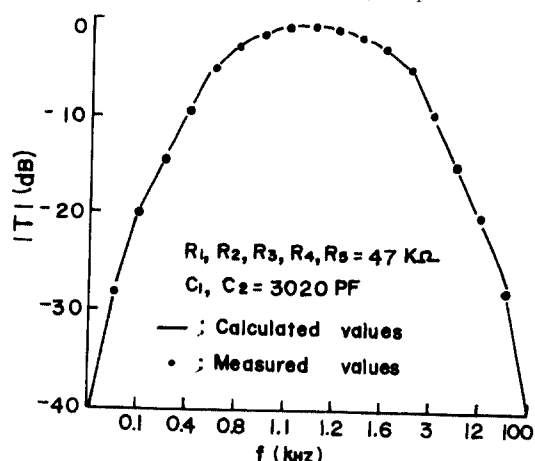


그림6 대역 농동 이파기의 주파수 이득  
The amplitude response of BPF.